

Vorlesung (6), 07. 12. 2021

Fr Nachtrag:

- Seit der Antike bekannt: 5 Planeten: Merkur, Venus, Mars, Jupiter, Saturn

- Kepler Idee im Zus.-hg. mit den 5 platonischen Körpern: Verhältnis der Radien (ungefahre Kreisbahnen der 6 Planeten angenommen) benachbarte Planeten ist das Verhältnis der Radien von Um- und Innkugel der platonischen Körper (stimmt ungefähr)
- Aus Symmetreearnahmen die Bewegung der Planeten (mit Sonne im Ursprung $x=0$) geschieht auf Lös.-kurven von

$$\ddot{x} = - \underbrace{\varphi'(\|x\|)}_c \frac{x}{\|x\|} \quad \varphi(\|x\|)$$

in $\mathbb{R}^3 - \{0\}$

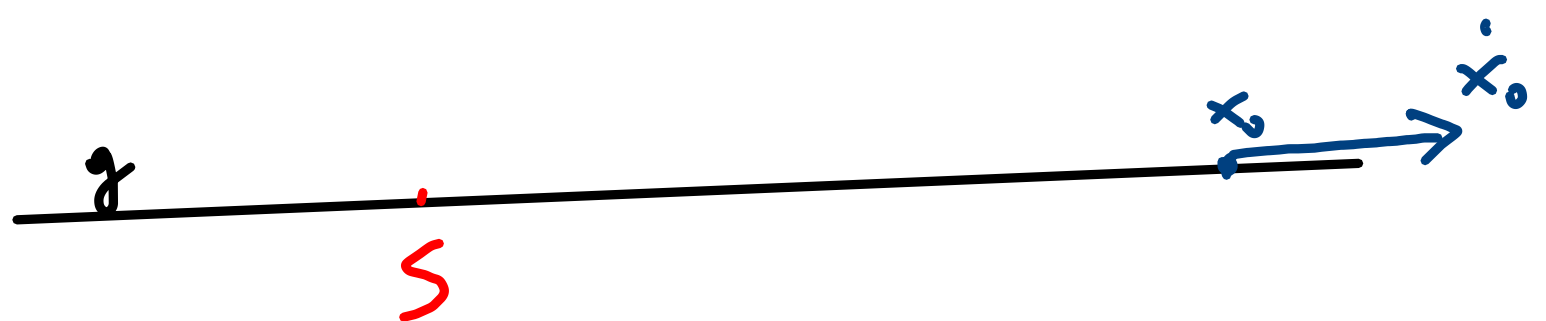
• 1. Integrale :

(i) Energie : $H(x, \dot{x}) = \frac{1}{2} \|\dot{x}\|^2 + \varphi(\|x\|)$

(ii) Drehimpuls : $L(x, \dot{x}) = x \times \dot{x}$

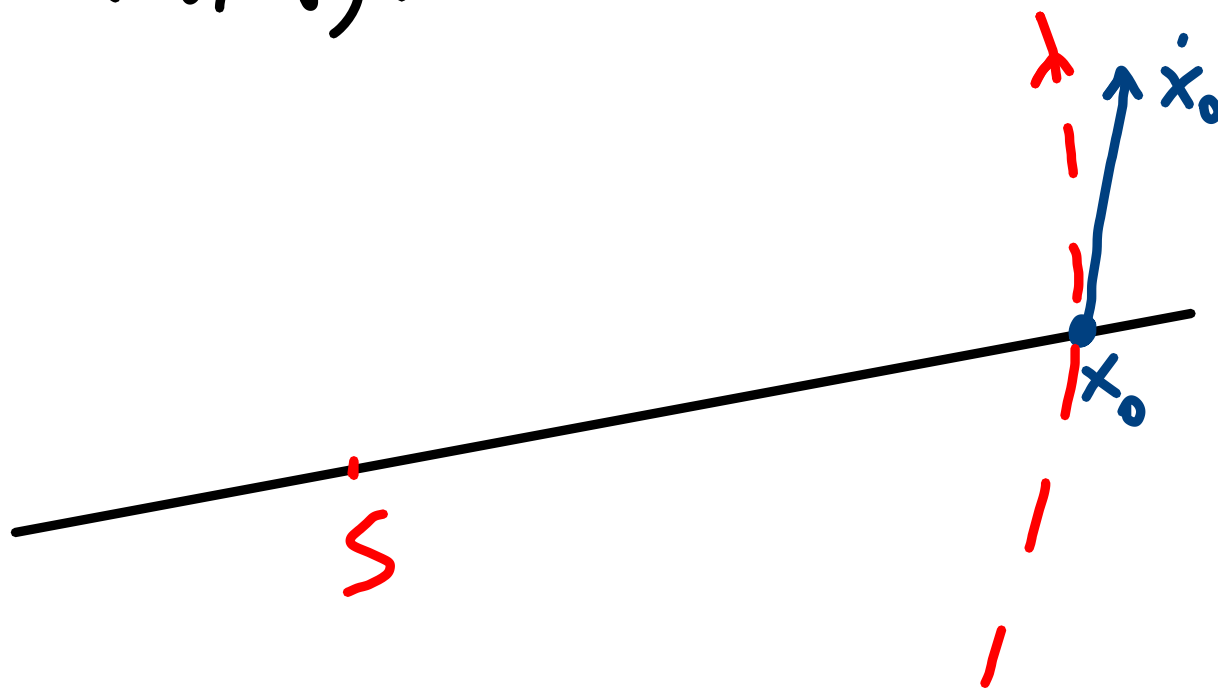
]

Korollar. (a) Ist die Auf.-bedingung $(x_0, \dot{x}_0) \in P = \mathbb{R}^3 - \{0\} \times \mathbb{R}^3$
 lin. abh., so bewegt sich ein Planet auf der Ellipse
 $\gamma = R x_0$.



(b) Ist (x_0, \dot{x}_0) lin. unabh., so bewegt sich der Planet auf der Ebene

$$E = \text{span}(x_0, \dot{x}_0).$$



Kommentar: Alle Planetenbahnen sind also eben (siehe 1. Teil des 1. Keplerschen Gesetzes). Genau im Fall $L = x_0 \times \dot{x}_0 = 0$, ist die Bahn auf einer Geraden, sonst echt in einer Ebene (Eklipse bei Sonne-Erde).

Beweis des Korollars.

(a) Wegen der Invarianz unter $\text{SO}(3)$ kann $x_0, \dot{x}_0 \in \mathbb{R}e_1$ annehmen. Betachte dann die ODE

$$\ddot{r} = -\psi(r), \quad r(0) = r_0 \quad (x_0 = (r_0, 0, 0)).$$

auf $\mathbb{R} \setminus \{0\}$. Die Lösungen $t \mapsto r(t)$ führen dann zu Lösungen $t \mapsto x(t)$ von

$$(*) \quad \ddot{x} = -\psi(\|x\|) \frac{x}{\|x\|} \quad \text{auf } \mathbb{R}^3 \setminus \{0\}$$

vermöge $x(t) = (r(t), 0, 0)$.

(b) Sei O.E. $x_0, \dot{x}_0 \in \text{span}(e_1, e_2)$. Betachte dann

$$(\text{***}) \quad \begin{pmatrix} \dot{x}_1 \\ \dot{x}_2 \end{pmatrix}' = -\varphi \left(\left\| \begin{pmatrix} \dot{x}_1 \\ \dot{x}_2 \end{pmatrix} \right\| \right) \cdot \frac{\begin{pmatrix} x_1, x_2 \end{pmatrix}}{\left\| \begin{pmatrix} x_1, x_2 \end{pmatrix} \right\|}$$

$(\dot{x}_1)_0, (\dot{x}_2)_0$

auf $\mathbb{R}^2 \setminus \{0\}$ mit auf.-bed $((x_1)_0, (x_2)_0)$, wenn $x_0 = (x_1)_0, (x_2)_0, 0$
 und $\dot{x}_0 = ((\dot{x}_1)_0, (\dot{x}_2)_0, 0)$. Die Lösungen von (***)
 mit $t \mapsto (x_1(t), x_2(t), 0)$ zu den Lösungen von (*) mit x_3 -
 Komponente gleich Null.

□

Kohärenz. (a) Die Kohärenz der Richtung des Drehimpulses L führt also zu einer Dimensionssreduktion von 6 auf 4. (Beachte: $L = (L_1, L_2, L_3)$ sind eigentlich 3 erste Integrale.) Der Betrag von L wird ein Integral für das ebene Problem bleiben.

(6) Im Fall $L=0$ bekommt man das System

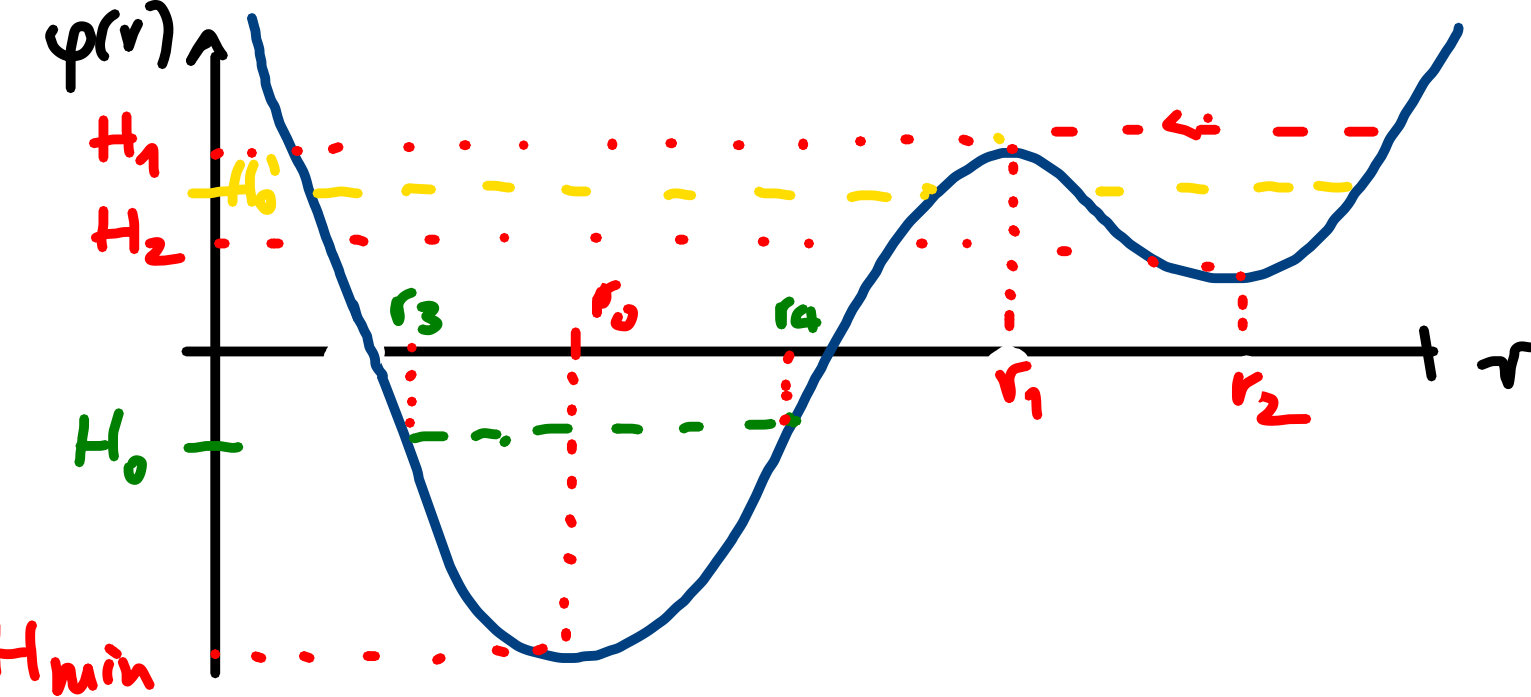
$$\ddot{r} = -\varphi(r) = -\varphi'(r)$$

mit 1. Integral

$$H(r, \dot{r}) = \frac{1}{2} \dot{r}^2 + \varphi(r),$$

welches wir komplett verstehen und sogar explizit integrieren können.

(2.4) Der Fall $L=0$. Wir wissen, dass $H(r, \dot{r}) = \frac{1}{2} \dot{r}^2 + \varphi(r)$ ein 1. Integral ist. Sieht der Graph von φ etwa qualitativ so aus?



so gibt qualitativ folgende Bahnen

- (i) Ist $H_0 := H(r_0, \dot{r}_0) < H_{\min}$, so gibt es keine solche Bahn, da $\frac{1}{2} \dot{r}^2 \geq 0$.
- (ii) Ist $H_0 = H_{\min}$ gibt es nur die (stabile) Gleichgewichtslage
- (iii) Ist $H_{\min} < H_0 < H_2$ pendelt die Bahn zwischen r_3 und r_4 .

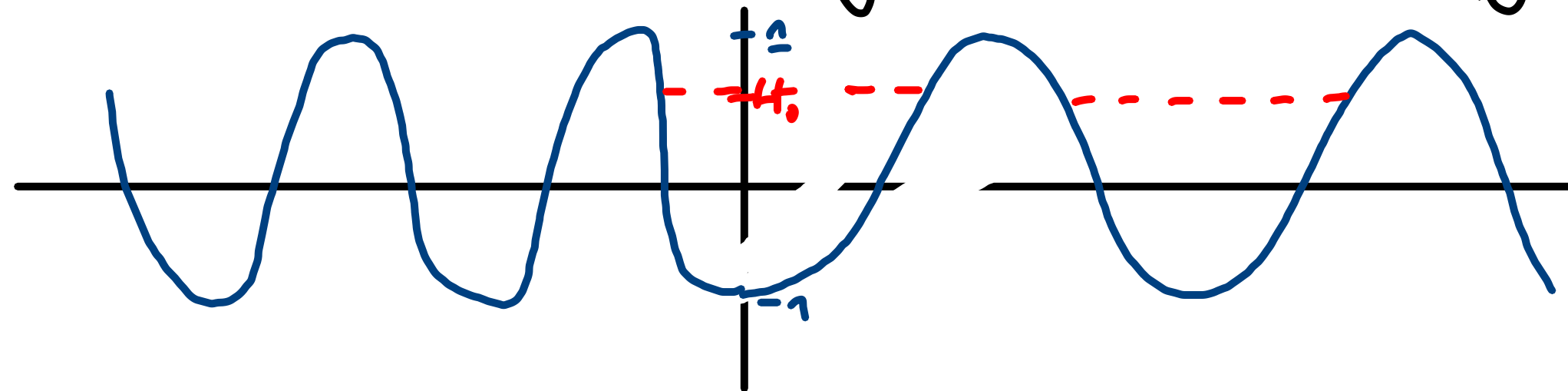
(iv) Für $H_0 = H$, läuft $t \mapsto r(t)$ in die (unstabile) gl.-lage hinein

(v) Für $H_0 > H_1$ pendelt $t \mapsto r(t)$ mehr zwischen zwei Werten hin und her.

Beispiel. (a) Das mathematische Pendel. Hier war

$$\varphi(r) = -\cos(r) \quad (\text{und } G = \mathbb{R})$$

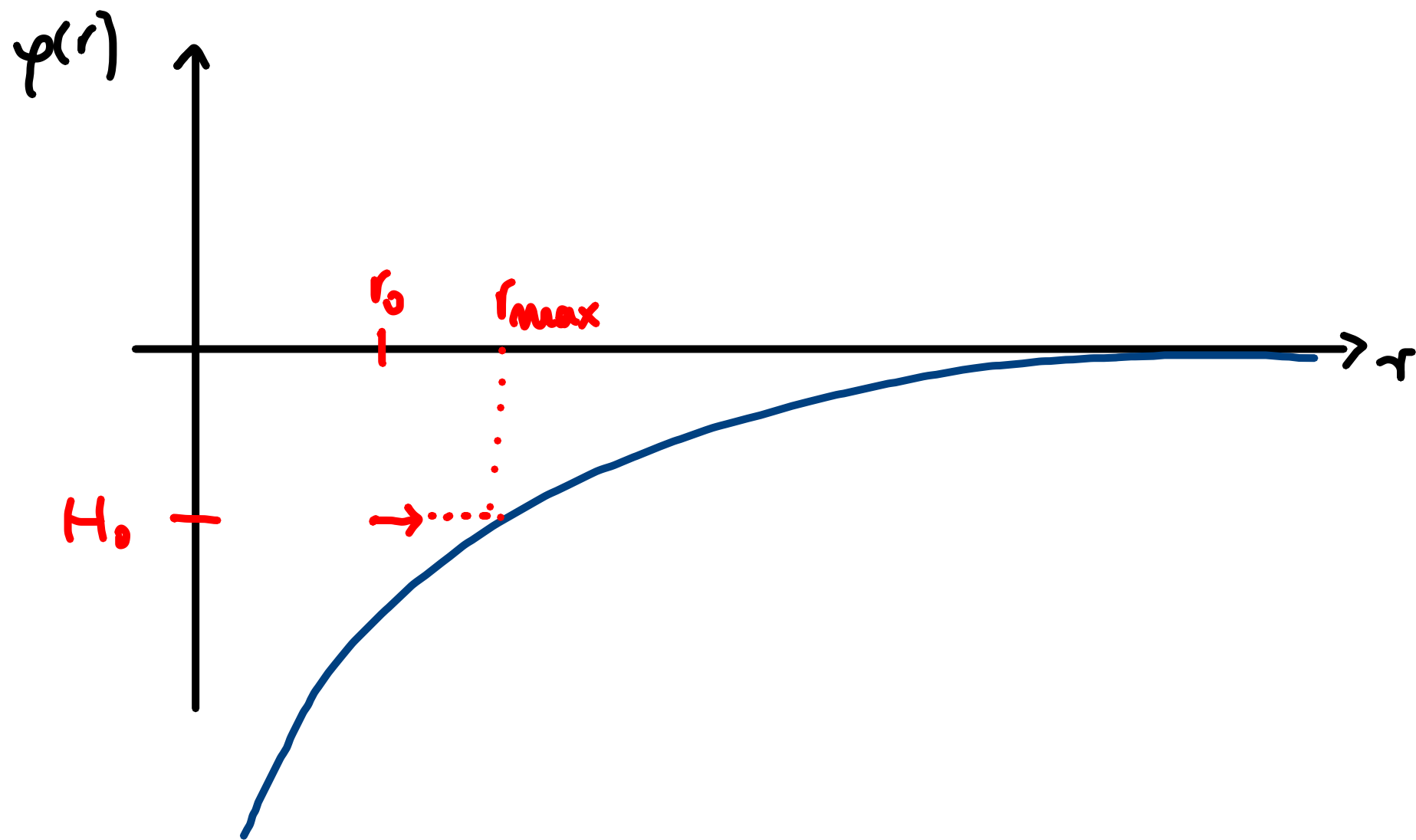
und wir hatten das Phasendiagramm schon aufgetellt,



(b) Im Kepler-Problem wird sich $\varphi: \mathbb{R}_+ \rightarrow \mathbb{R}$
als

$$\varphi(r) = -\frac{1}{r}$$

herausstellen (also $\varphi(r) = \varphi'(r) = \frac{1}{r^2}$):



für

- (i) $H_0 < 0$ und $\dot{r}_0 > 0$ entfernt sich der Planet also zunächst von der Sonne, bis er $r_{\max} = r(t_0)$ erreicht. Dort ist $\dot{r}(t_0) = 0$ und dann kehrt er zurück und fällt schließlich (in endlicher Zeit) in die Sonne. Im Fall $\dot{r}_0 \leq 0$ fällt er sofort in die Sonne.
- (ii) $H_0 = 0$ und $\dot{r}_0 \leq 0$: ... fällt er in die Sonne
 $\dot{r}_0 > 0$: erreicht „grande römer“ ∞ mit $t_+(r_0, \dot{r}_0) = \infty$
- (iii) $H_0 > 0$: $\dot{r}_0 \leq 0$: fällt in die Sonne
 $\dot{r}_0 \geq 0$: erreicht (in endlicher Zeit) ∞ .

(2.5) Der Fall $L \neq 0$.

Wir betrachten o. E. den Fall, dass

$$E = \text{span}(x_0, \dot{x}_0) = \mathbb{R}^2$$

und damit $L = \ell \cdot e_3$ mit

$$\ell(x, \dot{x}) = x_1 \dot{x}_2 - x_2 \dot{x}_1 \quad (L)$$

Das Phasoruum von

$$\ddot{x} = -4(\|x\|) \frac{x}{\|x\|} \quad \text{auf } \mathbb{R}^2 \setminus \{0\} \quad (N)$$

ist also min 4-dimensional und wir haben neben (L)

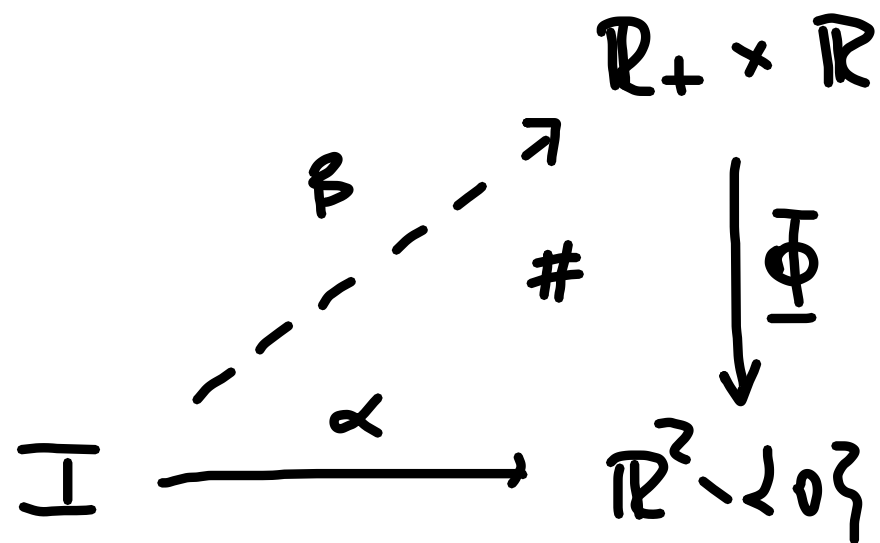
noch das Energieintegral

$$H(x, \dot{x}) = \frac{1}{2} \|\dot{x}\|^2 + \varphi(\|x\|)$$

Naheliegend: Transformiere auf Polarkoordinaten, d.h.:
betrachte

$$\underline{\Phi}(r, \theta) = (r \cos \theta, r \sin \theta)$$

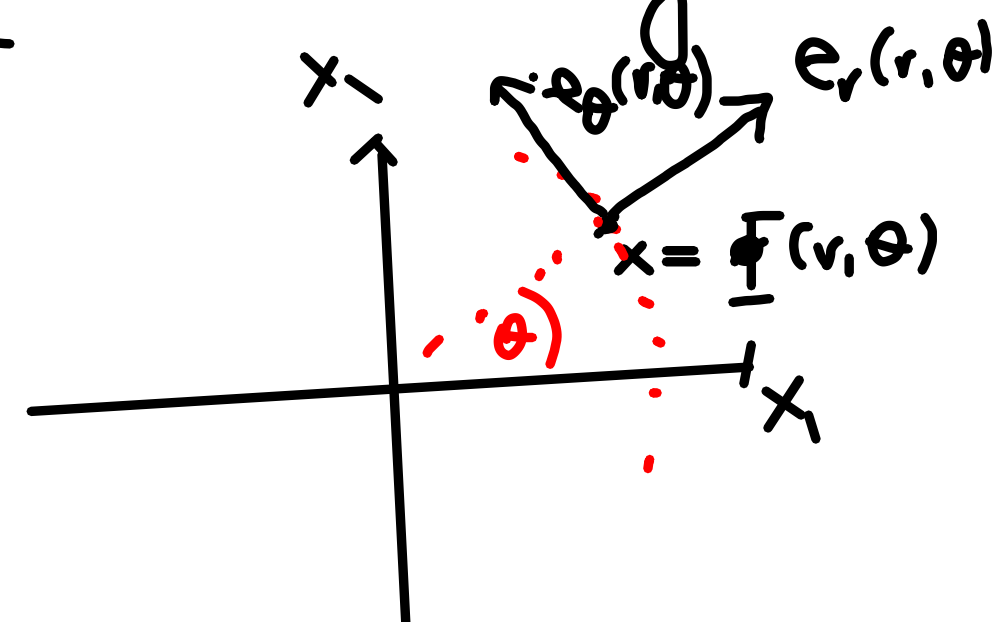
Um alle Winkel zu erfassen, nehmen wir $\underline{\Phi}: \mathbb{R}_+ \times \mathbb{R} \rightarrow \mathbb{R}^2 \setminus \{0\}$ an. Dann ist $\underline{\Phi}$ in weitem noch eine Immersion, d.h.
 $D\underline{\Phi}(r, \theta)$ hat überall vollen Rang, ist sogar eine Überlagerung. Wir können also das Vektorfeld und damit die Bahnen nach $\mathbb{R}_+ \times \mathbb{R}$ heben, d.h. zu $\alpha: \mathbb{I} \rightarrow \mathbb{R}^2 \setminus \{0\}$ gibt es stets $\beta: \mathbb{I} \rightarrow \mathbb{R}_+ \times \mathbb{R}$ mit $\underline{\Phi} \circ \beta = \alpha$,



Wollen nun sehen, welche Dgl. β erfüllt (also wie das geplante Vektorfeld aussieht): Seien dazu

$$e_r(r, \theta) = (\cos \theta, \sin \theta)$$

$$e_\theta(r, \theta) = (-\sin \theta, \cos \theta)$$



$\sim (e_r, e_\theta)$ ist also ON-Basis. Ist nun
 $\beta: t \mapsto (r(t), \theta(t))$ (das „Begleitende 2-Zeil“), so gilt:

$$\dot{e}_r(r, \theta) = (-\sin \theta \cdot \dot{\theta}, \cos \theta \cdot \dot{\theta}) = \dot{\theta} e_\theta$$

$$\dot{e}_\theta(r, \theta) = (-\cos \theta \cdot \dot{\theta}, -\sin \theta \cdot \dot{\theta}) = -\dot{\theta} e_r.$$

Ableitung von $\alpha: t \mapsto x(t)$ liefert wegen $x = r e_r$

$$\dot{x} = \dot{r} e_r + r \dot{e}_r = \dot{r} e_r + r \dot{\theta} e_\theta,$$

insbesondere

$$\|\dot{x}\|^2 = \dot{r}^2 + (r \dot{\theta})^2.$$

Weiter:

$$\begin{aligned}\ddot{x} &= \ddot{r} e_r + \dot{r} \dot{e}_r + \dot{r} \dot{\theta} e_\theta + r \ddot{\theta} e_\theta + r \dot{\theta} \dot{e}_\theta \\ &= (\ddot{r} - r \dot{\theta}^2) e_r + (2\dot{r} \dot{\theta} + r \ddot{\theta}) e_\theta.\end{aligned}$$

Andererseits ist

$$G(x) = -\varphi'(\|x\|) \frac{x}{\|x\|} = -\varphi'(r) e_r$$

Also durch Vergleich der Komponenten

$$(a) \quad \ddot{r} = r \dot{\theta}^2 - \varphi'(r)$$

$$(b) \quad \ddot{\theta} = -\frac{2r}{r} \dot{\theta}$$

Transformation der beiden 1. Integrale ergibt:

$$H = \frac{1}{2} \| \dot{x} \|^2 + \varphi(\|x\|) = \frac{1}{2} (\dot{r}^2 + r^2 \dot{\theta}^2) + \varphi(r) = \left(\frac{1}{2} \dot{r}^2 + \varphi(r) \right) + \frac{1}{2} r^2 \dot{\theta}^2$$

Gleichung (b) ándert nur die Invarianz von ℓ aus, denn:

$$\frac{1}{r^2} \frac{d}{dt} \left(\underbrace{r^2 \dot{\theta}}_{= \ell} \right) = \frac{2r\dot{r}}{r^2} \dot{\theta} + \ddot{\theta} = \ddot{\theta} + \frac{2\dot{r}}{r} \dot{\theta}$$

denn:

$$\begin{aligned}\ell &= x_1 \dot{x}_2 - x_2 \dot{x}_1 \\ &= r \cdot \cos \theta \cdot (r \cdot \sin \theta)' - r \sin \theta \cdot (r \cdot \cos \theta)' \\ &= r \cdot \cos \theta \cdot (\dot{r} \sin \theta + r \cos \theta \cdot \dot{\theta}) \\ &\quad - r \sin \theta (\dot{r} \cos \theta - r \sin \theta \cdot \dot{\theta}) = r^2 \dot{\theta}\end{aligned}$$

Hat man $t \mapsto r(t)$ bestimmt, folgt $t \mapsto \theta(t)$ aus der Quadratur von $\dot{\theta} = \ell/r^2$, also

$$\theta(t) = \ell \int_0^t \frac{ds}{r^2(s)}.$$